

Содержание

1	Введение	3
2	Дилатонная электродинамика	4
3	Экспериментальная установка	6
4	Источник для скалярного поля в полости производства	7
4.1	Общие замечания	7
4.2	Общие выражения для TE-мод	8
4.3	Мода TE_{011}	8
5	Токи для электромагнитного поля в полости детектирования	9
5.1	Общие замечания	9
5.2	Случай постоянного поля	9
6	Решение уравнений Максвелла в полости детектирования	10
6.1	Решение уравнений и общие свойства мод	10
6.2	Исследование резонанса и определение G -фактора . .	11
6.3	Обезразмеривание и определение \mathfrak{G} -фактора	12
7	Чувствительность эксперимента	14
8	Асимптотическое поведение	15
9	Заключение	18
	Список литературы	19

1 Введение

Дилатоны представляют собой скалярные частицы, взаимодействующие с электромагнитным полем. Исторически они впервые были введены в работах, посвящённых теории Калуцы-Кляйна [6]. Дилатоны также возникают в теории струн [3] и играют важную роль в решении задачи многих тел в современных теориях гравитации [5]. Кроме того, они возникают в космологических приложениях [1].

Дилатон можно детектировать в экспериментах типа LSW (light shining through the wall). Эксперименты такого типа обычно предназначены для поиска псевдоскалярных аксионоподобных частиц [8], однако подобную методику можно применять и к другим частицам, взаимодействующим с электромагнитным полем.

Так, в частности, поиск дилатонов проводился в эксперименте OSQAR типа LSW с лазером в качестве источника электромагнитного излучения [2].

Настоящая работа посвящена обоснованию возможности поиска дилатоноподобных частиц в экспериментах типа Light shining through the wall с использованием радиочастотных резонаторов.

2 Дилатонная электродинамика

Рассмотрим модель, содержащую взаимодействие электромагнитного поля с дилатонным скалярным в первом порядке по константе взаимодействия. Лагранжиан такой модели имеет вид:

$$\mathcal{L} = -\frac{1}{4}F_{\mu\nu}F^{\mu\nu} + \frac{1}{2}\partial_\mu\phi\partial^\mu\phi - \frac{1}{2}m^2\phi^2 - \frac{1}{4}g\phi F_{\mu\nu}F^{\mu\nu} \quad (1)$$

Вариация свободных членов действия:

$$\delta S_{free} = \int d^4x \left(\delta A_\nu \partial_\mu F^{\mu\nu} - \delta\phi (\partial^2 + m^2)\phi \right) \quad (2)$$

Вариация члена со взаимодействием:

$$\delta S_{int} = \int d^4x \left(\delta A_\nu \partial_\mu (g\phi F^{\mu\nu}) - \frac{1}{4}\delta\phi g F_{\mu\nu}F^{\mu\nu} \right) \quad (3)$$

Тогда уравнения движения для данной модели имеют вид:

$$(\partial^2 + m^2)\phi = -\frac{1}{4}gF_{\mu\nu}F^{\mu\nu} \quad (4)$$

$$\partial_\mu ((1 + g\phi)F^{\mu\nu}) = 0 \quad (5)$$

Будем решать уравнения, раскладывая в ряд по степеням g :

$$\phi = \phi^{(0)} + \phi^{(1)} + \phi^{(2)} \dots \quad (6)$$

$$A_\mu = A_\mu^{(0)} + A_\mu^{(1)} + A_\mu^{(2)} + \dots \quad (7)$$

Тогда уравнения с точностью до второго порядка переписутся в следующем виде:

$$\begin{aligned} (\partial^2 + m^2) \left(\phi^{(0)} + \phi^{(1)} + \phi^{(2)} \right) &= \\ &= -\frac{1}{4}g \left(F_{\mu\nu}^{(0)}F^{(0)\mu\nu} + 2F_{\mu\nu}^{(0)}F^{(1)\mu\nu} \right) \end{aligned} \quad (8)$$

$$\begin{aligned} \partial_\mu \left(F^{(0)\mu\nu} + F^{(1)\mu\nu} + F^{(2)\mu\nu} + \right. \\ \left. + g\phi^{(0)}F^{(0)\mu\nu} + g\phi^{(0)}F^{(1)\mu\nu} + g\phi^{(1)}F^{(0)\mu\nu} \right) = 0 \end{aligned} \quad (9)$$

Уравнения нулевого приближения:

$$(\partial^2 + m^2) \phi^{(0)} = 0 \quad (10)$$

$$\partial_\mu F^{(0)\mu\nu} = 0 \quad (11)$$

Уравнения первого приближения:

$$(\partial^2 + m^2) \phi^{(1)} = -\frac{1}{4} g F_{\mu\nu}^{(0)} F^{(0)\mu\nu} \quad (12)$$

$$\partial_\mu \left(F^{(1)\mu\nu} + g \phi^{(0)} F^{(0)\mu\nu} \right) = 0 \quad (13)$$

Уравнения второго приближения:

$$(\partial^2 + m^2) \phi^{(2)} = -\frac{1}{2} g F_{\mu\nu}^{(0)} F^{(1)\mu\nu} \quad (14)$$

$$\partial_\mu \left(F^{(2)\mu\nu} + g \phi^{(0)} F^{(1)\mu\nu} + g \phi^{(1)} F^{(0)\mu\nu} \right) = 0 \quad (15)$$

Учтём, что решение уравнения для скалярного поля в нулевом приближении тривиально ($\phi^{(0)} = 0$) и выпишем только необходимые для дальнейшего рассмотрения уравнения:

$$\partial_\mu F^{(0)\mu\nu} = 0 \quad (16)$$

$$(\partial^2 + m^2) \phi^{(1)} = -\frac{1}{4} g F_{\mu\nu}^{(0)} F^{(0)\mu\nu} \quad (17)$$

$$\partial_\mu F^{(2)\mu\nu} = -g \partial_\mu \left(\phi^{(1)} F^{(0)\mu\nu} \right) = -g F^{(0)\mu\nu} \partial_\mu \phi^{(1)} \equiv j_{dil}^\nu \quad (18)$$

Решение второго уравнения:

$$\phi^{(1)}(x) = \int_{V_\infty} d^3 x' f(x') \cdot \frac{e^{ik_\phi |x-x'|}}{4\pi |x-x'|} \quad (19)$$

Здесь $f(\vec{x}) = -\frac{1}{4} g F_{\mu\nu}^{(0)} F^{(0)\mu\nu}(\vec{x}) = \frac{1}{2} g \left(\vec{E}^{(0)2}(\vec{x}) - \vec{B}^{(0)2}(\vec{x}) \right)$ - функция источника, $k_\phi^2 = \omega^2 - m^2$ и предполагается гармоническая зависимость от времени для полей.

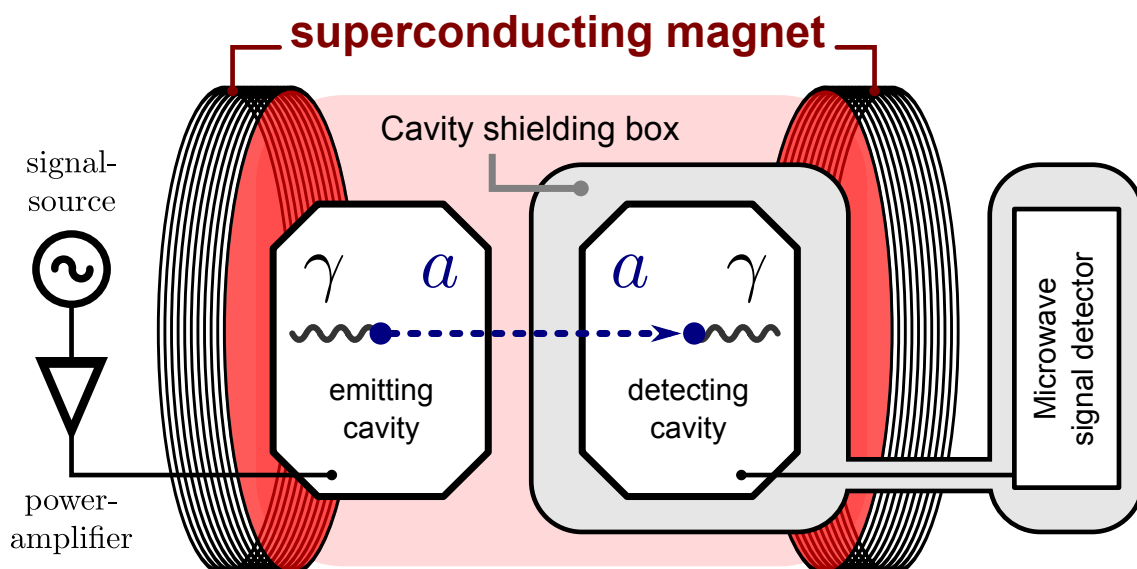


Рис. 1: Принципиальная схема эксперимента типа LSW - пример эксперимента CROWS [4]

3 Экспериментальная установка

Классическая экспериментальная установка типа LSW представляет собой [7] две коаксиальных цилиндрических радиочастотных полости, разделённых непроницаемым для электромагнитного излучения барьером, и источник внешнего магнитного поля, направленного по оси цилиндров.

В полости производства возбуждается мода электромагнитного поля $F_{\mu\nu}^{(0)}$, которая порождает дилатонное поле $\phi^{(1)}$. Данное дилатонное поле затем порождает электромагнитное поле $F_{\mu\nu}^{(2)}$, которое и детектируется резонансным образом в полости детектирования.

4 Источник для скалярного поля в полости производства

4.1 Общие замечания

Источник для скалярного поля:

$$f(\vec{x}) = \frac{1}{2}g \left(\vec{E}^{(0)2}(\vec{x}) - \vec{B}^{(0)2}(\vec{x}) \right) \quad (20)$$

Положим, что в полости производства накачана одна мода и имеется внешнее постоянное магнитное поле B_{ext} , направленное вдоль оси цилиндра и много большее амплитуды накачки. Тогда:

$$\begin{aligned} \frac{1}{2} \left(\vec{E}^{(0)2}(t, \vec{x}) - \vec{B}^{(0)2}(t, \vec{x}) \right) &= \frac{1}{2} \left(\vec{E}_{mode}^2(t, \vec{x}) - \left(\vec{B}_{mode}(t, \vec{x}) + \vec{B}_{ext}(\vec{x}) \right)^2 \right) \supseteq \\ &\supseteq -\vec{B}_{mode}(t, \vec{x}) \cdot \vec{B}_{ext}(\vec{x}) = -\vec{B}_{mode}(\vec{x}) \cdot \vec{B}_{ext}(\vec{x}) \cdot e^{-i\omega t} \end{aligned} \quad (21)$$

$$f(\vec{x}) = -g\vec{B}_{mode}(\vec{x}) \cdot \vec{B}_{ext}(\vec{x}) \quad (22)$$

Здесь выделена часть, зависящая от времени как $e^{-i\omega t}$.

Введём также безразмерную функцию источника:

$$h(\vec{x}) \equiv -\frac{f(\vec{x})}{gB_m B_{ext}} = B_{mode}^z(\vec{x}) \quad (23)$$

Здесь B_m - максимальное значение поля для данной моды.

Поскольку поле B_{ext} направлено вдоль оси z , функция источника для данной временной зависимости ненулевая только тогда, когда есть ненулевая z -компонента магнитного поля моды накачки (то есть возбуждена ТЕ-мода).

4.2 Общие выражения для ТЕ-мод

Выражение для z -компоненты магнитного поля:

$$B_{npq}^z(\vec{x}) = J_n(k_\rho \rho) \left\{ \begin{array}{l} \sin n\varphi \\ \cos n\varphi \end{array} \right\} \sin k_z z \quad (24)$$

Здесь $k_\rho = \frac{x'_{np}}{r}$, $k_z = \frac{q\pi}{h}$, r - радиус цилиндрической полости, h - её длина, x'_{np} - p -тый нуль первой производной функции Бесселя n -того порядка. Собственная частота равна $\omega_{npq} = \sqrt{k_\rho^2 + k_z^2}$.

4.3 Мода TE_{011}

Ненулевые компоненты полей:

$$B_z = J_0(k_\rho \rho) \sin(k_z z) \quad (25)$$

$$B_\rho = \frac{k_z}{k_\rho} \cdot J'_0(k_\rho \rho) \cos(k_z z) \quad (26)$$

$$E_\phi = -\frac{i\omega}{k_\rho} J'_0(k_\rho \rho) \sin(k_z z) \quad (27)$$

Выражение для функции источника:

$$h(\vec{x}) = J_0(k_\rho \rho) \sin(k_z z) \quad (28)$$

5 Токи для электромагнитного поля в полости детектирования

5.1 Общие замечания

Выше было показано, что источник (внешний ток) для электромагнитного поля во втором порядке теории возмущений имеет вид:

$$j_{dil}^\nu \equiv -g F^{(0)\mu\nu} \partial_\mu \phi^{(1)} \quad (29)$$

Перепишем в явном виде через компоненты полей:

$$\rho_{dil} \equiv j_{dil}^0 = -g F^{i0} \partial_i \phi = -g \left(\vec{E} \cdot \vec{\nabla} \phi \right) \quad (30)$$

$$j_{dil}^j = -g \left(F^{0j} \partial_0 \phi + F^{ij} \partial_i \phi \right) = \left\{ \begin{array}{l} F^{ij} = -\varepsilon^{ijk} B_k \\ F^{0j} = -E^j \end{array} \right\} =$$

$$= g \left(E^j \partial_0 \phi - \varepsilon^{jik} \partial_i \phi B_k \right) \quad (31)$$

$$\vec{j}_{dil} = g \left(\vec{E} \cdot \dot{\phi} + [\vec{B} \times \vec{\nabla} \phi] \right) \quad (32)$$

Можно видеть, что в выражения для токов входят только производные скалярного поля (то есть однородное постоянное поле не детектируется).

5.2 Случай постоянного поля

Положим, что в полости детектирования имеется только внешнее постоянное магнитное поле B_{ext} , направленное вдоль оси цилиндра. Тогда:

$$\rho_{dil} = 0 \quad (33)$$

$$\vec{j}_{dil} = g \left[\vec{B}_{ext} \times \vec{\nabla} \phi \right] \quad (34)$$

6 Решение уравнений Максвелла в полости детектирования

6.1 Решение уравнений и общие свойства мод

Запишем уравнения Максвелла в полости детектирования с учётом гармонической зависимости полей от времени ($\vec{E}(t, \vec{x}) = \vec{E}(\vec{x})e^{-i\omega t}$):

$$\begin{cases} (\vec{\nabla} \cdot \vec{E}) = 0 \\ (\vec{\nabla} \cdot \vec{B}) = 0 \\ [\vec{\nabla} \times \vec{B}] = -i\omega \vec{E} + j_{dil} \\ [\vec{\nabla} \times \vec{E}] = i\omega \vec{B} \end{cases} \quad (35)$$

Представим поля в виде разложения на соленоидальные и потенциальные моды:

$$\vec{E}(\vec{x}) = \sum_n E_n \vec{\mathfrak{E}}_n(\vec{x}) - \vec{\nabla} \varphi_E(\vec{x}) \quad (36)$$

$$\vec{B}(\vec{x}) = \sum_n B_n \vec{\mathfrak{B}}_n(\vec{x}) - \vec{\nabla} \varphi_B(\vec{x}) \quad (37)$$

Для соленоидальных мод справедливы выражения:

$$[\vec{\nabla} \times \vec{\mathfrak{E}}_n] = i\omega_n [\vec{\nabla} \times \vec{\mathfrak{A}}_n] = i\omega_n \vec{\mathfrak{B}}_n \quad (38)$$

$$\begin{aligned} [\vec{\nabla} \times \vec{\mathfrak{B}}_n] &= \frac{1}{i\omega_n} [\vec{\nabla} \times [\vec{\nabla} \times \vec{\mathfrak{E}}_n]] = \frac{1}{i\omega_n} \left(\vec{\nabla} (\vec{\nabla} \cdot \vec{\mathfrak{E}}_n) - \Delta \vec{\mathfrak{E}}_n \right) = \\ &= \frac{1}{i\omega_n} \omega_n^2 \vec{\mathfrak{E}}_n = -i\omega_n \vec{\mathfrak{E}}_n \end{aligned} \quad (39)$$

Условия нормировки и ортогональности для мод:

$$\int_{V_d} d^3x \left(\vec{\mathfrak{E}}_s^* \cdot \vec{\mathfrak{E}}_n \right) = \int_{V_d} d^3x \left(\vec{\mathfrak{E}}_s^* \cdot \vec{\mathfrak{E}}_n \right) = V \delta_{sn} \quad (40)$$

После подстановки в уравнения Максвелла получим:

$$-i \sum_n \omega_n B_n \vec{\mathfrak{E}}_n = -i\omega \sum_n E_n \vec{\mathfrak{E}}_n + i\omega \vec{\nabla} \varphi_E + \vec{j}_{dil} \quad (41)$$

$$i \sum_n \omega_n E_n \vec{\mathfrak{B}}_n = i\omega \sum_n B_n \vec{\mathfrak{B}}_n - i\omega \vec{\nabla} \varphi_B \quad (42)$$

Можно показать [7], что потенциальные моды ортогональны соленоидальным:

$$\int_{V_d} d^3x \left(\vec{\mathfrak{E}}_s^* \cdot \vec{\nabla} \varphi_E \right) = 0 \quad (43)$$

$$\int_{V_d} d^3x \left(\vec{\mathfrak{B}}_s^* \cdot \vec{\nabla} \varphi_B \right) = 0 \quad (44)$$

6.2 Исследование резонанса и определение G -фактора

Проинтегрируем уравнения Максвелла с модами $\vec{\mathfrak{E}}_s^*$ и $\vec{\mathfrak{B}}_s^*$ соответственно с учётом условий нормировки и ортогональности.

$$-i\omega_s B_s V_d = -i\omega E_s V_d + \int_{V_d} d^3x \left(\vec{\mathfrak{E}}_s^* \cdot \vec{j}_{dil} \right) \quad (45)$$

$$i\omega_s E_s V_d = i\omega B_s V_d \quad (46)$$

Выражения для B_s и E_s :

$$E_s = \frac{-i\omega}{V_d(\omega^2 - \omega_s^2)} \int_{V_d} d^3x \left(\vec{\mathfrak{E}}_s^* \cdot \vec{j}_{dil} \right) \quad (47)$$

$$B_s = \frac{-i\omega_s}{V_d(\omega^2 - \omega_s^2)} \int_{V_d} d^3x \left(\vec{\mathfrak{E}}_s^* \cdot \vec{j}_{dil} \right) \quad (48)$$

Введём диссипацию энергии в полости (существенную в случае резонанса), заменив выражение в знаменателе:

$$\frac{1}{\omega^2 - \omega_s^2} \rightarrow \frac{1}{\omega^2 - \omega_s^2 + \frac{i\omega\omega_s}{Q}} \quad (49)$$

Тогда при условии резонанса ($\omega \rightarrow \omega_s$) для заданной моды

МОЖНО ВВЕСТИ:

$$G_s \equiv E_s = B_s = -\frac{Q}{\omega_s V_d} \int_{V_d} d^3x \left(\vec{\mathfrak{E}}_s^* \cdot \vec{j}_{dil} \right) \quad (50)$$

6.3 Обезразмеривание и определение \mathfrak{G} -фактора

Вспомнив выражение для тока, полученное в разделе 3.2, запишем для G -фактора:

$$\begin{aligned} G_s &= -\frac{gQ}{\omega_s V_d} \int_{V_d} d^3x \left(\vec{\mathfrak{E}}_s^* \cdot \left[\vec{B}_{ext} \times \vec{\nabla} \phi \right] \right) = \\ &= -\frac{gQ}{\omega_s V_d} \int_{V_d} d^3x \left(\vec{\nabla} \phi \cdot \left[\vec{\mathfrak{E}}_s^* \times \vec{B}_{ext} \right] \right) = \\ &= \frac{gQ}{\omega_s V_d} \int_{V_d} d^3x \phi \left(\vec{\nabla} \cdot \left[\vec{\mathfrak{E}}_s^* \times \vec{B}_{ext} \right] \right) - \\ &\quad - \frac{gQ}{\omega_s V_d} \int_{V_d} d^3x \vec{\nabla} \left(\phi \cdot \left[\vec{\mathfrak{E}}_s^* \times \vec{B}_{ext} \right] \right) \end{aligned} \quad (51)$$

Рассмотрим отдельно поверхностный член:

$$\begin{aligned} \int_{V_d} d^3x \vec{\nabla} \left(\phi \cdot \left[\vec{\mathfrak{E}}_s^* \times \vec{B}_{ext} \right] \right) &= \int_{S_d} d\sigma \phi \left(\vec{n} \cdot \left[\vec{\mathfrak{E}}_s^* \times \vec{B}_{ext} \right] \right) = \\ &= \int_{S_d} d\sigma \phi \left(\vec{B}_{ext} \cdot \left[\vec{n} \times \vec{\mathfrak{E}}_s^* \right] \right) = 0 \end{aligned} \quad (52)$$

Здесь мы учли, что $\left[\vec{n} \times \vec{\mathfrak{E}}_s^* \right] = 0$ в силу граничных условий для проводящих поверхностей.

Теперь преобразуем оставшееся выражение:

$$\begin{aligned} G_s &= \frac{gQ}{\omega_s V_d} \int_{V_d} d^3x \phi \left(\vec{\nabla} \cdot \left[\vec{\mathfrak{E}}_s^* \times \vec{B}_{ext} \right] \right) = \\ &= \frac{gQ}{\omega_s V_d} \int_{V_d} d^3x \phi \left(\vec{B}_{ext} \cdot \left[\vec{\nabla} \times \vec{\mathfrak{E}}_s^* \right] \right) = \\ &= -\frac{igQ}{V_d} \int_{V_d} d^3x \phi \left(\vec{B}_{ext} \cdot \vec{\mathfrak{B}}_s^* \right) = -\frac{igQ}{V_d} \int_{V_d} d^3x \phi B_{ext} \mathfrak{B}_s^{z*} \end{aligned} \quad (53)$$

Вспомнив выражения для скалярного поля и для функции источника, получим для G -фактора:

$$\begin{aligned}
G_s &= -\frac{ig^2QB_mB_{ext}^2}{V_d} \int_{V_d} d^3x \left(\int_{V_\infty} d^3x' h(x') \cdot \frac{e^{ik_\phi|x-x'|}}{4\pi|x-x'|} \right) \mathfrak{B}_s^{z^*}(x) = \\
&= \frac{ig^2QB_mB_{ext}^2V_p}{d} \int_{V_d} \frac{d^3x}{V_d} \int_{V_p} \frac{d^3x'}{V_p} \left(d \cdot \mathfrak{B}_s^{z^*}(x) \cdot h(x') \cdot \frac{e^{ik_\phi|x-x'|}}{4\pi|x-x'|} \right) = \\
&= \frac{ig^2QB_mB_{ext}^2V_p}{d} \cdot \mathfrak{G}_s \tag{54}
\end{aligned}$$

Здесь введён характерный масштаб $d = 1 \text{ m}$, а также безразмерный фактор \mathfrak{G}_s , определяемый исключительно физикой задачи:

$$\mathfrak{G}_s = \int_{V_d} \frac{d^3x}{V_d} \int_{V_p} \frac{d^3x'}{V_p} \left(d \cdot \mathfrak{B}_s^{z^*}(x) \cdot \mathfrak{B}_{TE_{011}}^z(x') \cdot \frac{e^{ik_\phi|x-x'|}}{4\pi|x-x'|} \right) \tag{55}$$

Можно видеть, что резонанс возникает только для ТЕ-мод электромагнитного поля в детекторе.

7 Чувствительность эксперимента

Используем радиометрическое уравнение:

$$SNR = \frac{P_{signal}}{P_{noise}} \sqrt{t \Delta \nu} \quad (56)$$

Учтём, что:

$$P_{noise} = T \Delta \nu \quad (57)$$

$$P_{signal} = \frac{\omega}{Q} \langle \int_{V_d} d^3x |\vec{E}|^2 \rangle_t = \frac{1}{2} \frac{\omega}{Q} V_d |G_s|^2 \quad (58)$$

$$\Delta \nu = \frac{\omega}{2\pi Q} \quad (59)$$

Тогда:

$$\begin{aligned} SNR &= \frac{\omega V_d |G_s|^2}{2QT} \sqrt{\frac{t}{\Delta \nu}} = \frac{\omega V_d}{2QT} \sqrt{\frac{t}{\Delta \nu}} \left| \frac{ig^2 Q B_m B_{ext}^2 V_p}{d} \cdot \mathfrak{G}_s \right|^2 = \\ &= \frac{\omega g^4 Q B_m^2 B_{ext}^4 V_d V_p^2 \cdot |\mathfrak{G}_s|^2}{2d^2 T} \sqrt{\frac{t}{\Delta \nu}} \end{aligned} \quad (60)$$

Выразим константу взаимодействия:

$$g^4 = \frac{2 \cdot SNR \cdot d^2 T}{B_m^2 B_{ext}^4 V_d V_p^2 \cdot |\mathfrak{G}_s|^2} \sqrt{\frac{1}{2\pi Q^3 \omega t}} \quad (61)$$

Подставив типичные значения для полей, параметры эксперимента по поиску аксионоподобных частиц CROWS [4], получим ожидаемое значение константы взаимодействия:

$$\begin{aligned} g^4 \times |\mathfrak{G}_s|^2 &= \frac{2 \cdot 5 \cdot 1m^2 \cdot 1.5K}{(180kV/m)^2 \cdot (3T)^4 \cdot (0.001m^3)^3} \times \\ &\times \sqrt{\frac{1}{2\pi \cdot 10^{5.3} \cdot 1GHz \cdot 20h}} = 7.0 \cdot 10^{-33} GeV^{-4} \end{aligned} \quad (62)$$

Предварительно оценив значение $|\mathfrak{G}_s|^2 \approx 1$, получим:

$$g \approx 9.1 \cdot 10^{-9} GeV^{-1} \quad (63)$$

8 Асимптотическое поведение

Рассмотрим поведение $\mathfrak{G}_{TE_{011}}$ в случае удалённых одинаковых полостей детектирования и производства. Сместив начало отсчёта для системы координат детектора, получим:

$$\mathfrak{G} = \int_{V_d} \frac{d^3x}{V_d} \int_{V_p} \frac{d^3x'}{V_p} \left(d \cdot \mathfrak{B}^{z*}(x) \cdot \mathfrak{B}^z(x') \cdot \frac{e^{ik_\phi|x-x'-l|}}{4\pi|x-x'-l|} \right) \quad (64)$$

Здесь $\vec{l} = \{0, 0, l\}$, l - расстояние между полостями детектирования и производства.

Разложим $|x - x' - l|$ в ряд с учётом $x \ll l$, $x' \ll l$:

$$|\vec{x} - \vec{x}' - \vec{l}| \approx l \cdot \left(1 - \frac{(z - z')}{l} + \frac{(\rho - \rho')^2}{2l^2} \right) \quad (65)$$

$$\frac{e^{ik_\phi|x-x'-l|}}{4\pi|x-x'-l|} \approx \frac{e^{ik_\phi l}}{4\pi l} \cdot e^{ik_\phi(z'-z)} \cdot \exp\left(\frac{ik_\phi(\rho - \rho')^2}{2l}\right) \quad (66)$$

Учтём, что z-компонента магнитного поля для моды TE_{011} имеет вид:

$$\mathfrak{B}^{z*}(x) = \mathfrak{B}^z(x) = J_0\left(\frac{x'_{01}\rho}{r}\right) \cdot \sin\left(\frac{\pi z}{h}\right) \quad (67)$$

Тогда явное выражение для \mathfrak{G} -фактора:

$$\mathfrak{G} \approx \frac{d}{l} \cdot \frac{e^{ik_\phi l}}{\pi} \int_0^1 dz' e^{ik_\phi h z'} \sin(\pi z') \int_0^1 dz e^{-ik_\phi h z} \sin(\pi z) \times \\ \times \int_0^r \frac{J_0(k_\rho \rho) \rho}{r^2} d\rho \int_0^r \frac{J_0(k_\rho \rho') \rho'}{r^2} d\rho' \exp\left(\frac{ik_\phi(\rho - \rho')^2}{2l}\right) = \quad (68)$$

$$= \frac{d}{l} \cdot \frac{e^{ik_\phi l}}{\pi} \cdot \frac{\pi(e^{ik_\phi h} + 1)}{\pi^2 - k_\phi^2 h^2} \cdot \frac{\pi(e^{-ik_\phi h} + 1)}{\pi^2 - k_\phi^2 h^2} \times \mathfrak{J} \quad (69)$$

Рассмотрим два предельных случая.

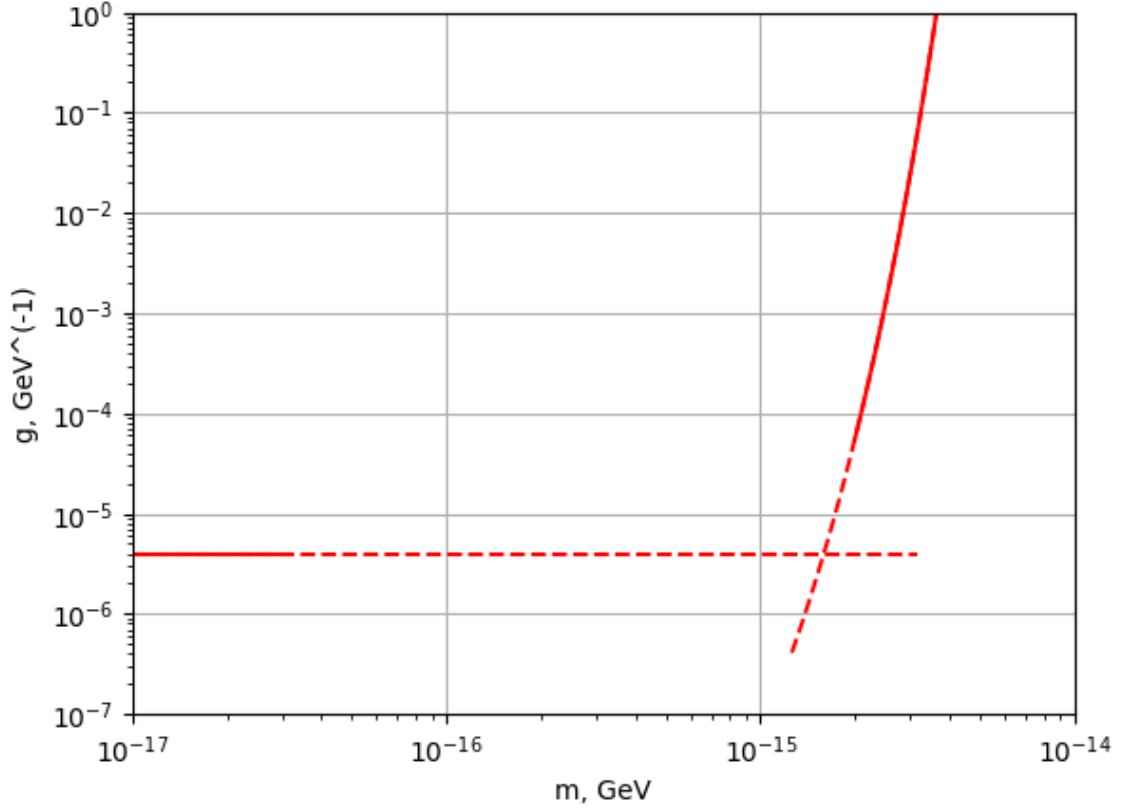


Рис. 2: Область исключения g в зависимости от массы скалярного поля при $l = 1$ м

В пределе больших масс ($m \gg \omega$, $md \gg 1$, $k_\phi \approx im$):

$$\begin{aligned} \mathfrak{I} &= \frac{1}{m^4 r^4} \int_0^{mr} J_0\left(\frac{x'_{01}}{mr} \rho\right) \rho d\rho \int_0^{mr} J_0\left(\frac{x'_{01}}{mr} \rho'\right) \rho' d\rho' \exp\left(-\frac{(\rho - \rho')^2}{2ml}\right) \approx \\ &\approx \frac{1}{m^4 r^4} \int_0^{mr} \rho d\rho \int_0^{mr} \rho' d\rho' \exp\left(-\frac{(\rho - \rho')^2}{2ml}\right) \approx \frac{2l}{3mr^2} e^{-\frac{mr^2}{2l}} \quad (70) \end{aligned}$$

$$\mathfrak{G} \approx \frac{2\pi d}{3r^2 h^4} \cdot \frac{e^{-ml}}{m^5} \quad (71)$$

$$g \sim m^{5/2} \cdot e^{-ml/2} \quad (72)$$

В пределе малых масс ($m \ll \omega$, $md \ll 1$, $k_\phi \approx \omega$, $\omega d \sim 1$), без

учёта комплексной фазы:

$$\begin{aligned}
\mathfrak{I} &\approx \int_0^1 J_0(x'_{01}\rho)\rho d\rho \int_0^1 J_0(x'_{01}\rho')\rho' d\rho' \exp\left(\frac{i\omega r^2}{2l}(\rho - \rho')^2\right) \approx \\
&\approx \frac{i\omega r^2}{2l} \int_0^1 J_0(x'_{01}\rho)\rho d\rho \int_0^1 J_0(x'_{01}\rho')\rho' d\rho' (\rho - \rho')^2 = \\
&= \frac{\omega r^2}{2l} \cdot \frac{\pi^2 J_0^2(x'_{01})H_1^2(x'_{01})}{2x'_{01}{}^4} \tag{73}
\end{aligned}$$

$$|\mathfrak{G}| \approx \frac{2\pi d}{l} \cdot \frac{\operatorname{ch}(\omega h) + 1}{(\pi^2 - \omega^2 h^2)^2} \cdot \frac{\omega r^2}{2l} \cdot \frac{\pi^2 J_0^2(x'_{01})H_1^2(x'_{01})}{2x'_{01}{}^4} \tag{74}$$

Здесь H - функция Струве.

9 Заключение

В работе предлагается теоретическое обоснование возможности детектирования скалярных дилатоноподобных частиц в экспериментах типа LSW с использованием радиочастотных резонаторов, в том числе с привлечением существующих экспериментов этого типа.

В ходе работы было получено выражение для определения константы взаимодействия дилатоноподобных частиц с электромагнитным полем и приведена, с привлечением типичных для экспериментов типа LSW параметров, характерная оценка для этой константы, а также рассмотрена её асимптотическая зависимость от параметров теории.

Таким образом, показано, что возможность детектирования дилатоноподобных частиц в радиочастотных резонансных экспериментах заслуживает рассмотрения.

Более аккуратная оценка ограничений на константу взаимодействия является предметом будущего исследования.

Список литературы

- [1] F. G. Alvarenga, A. B. Battista, and J. C. Fabris. Does quantum cosmology predict a constant dilatonic field? *International Journal of Modern Physics D*, 14(02):291–307, February 2005. ISSN 1793-6594. doi: 10.1142/s0218271805005955. URL <http://dx.doi.org/10.1142/S0218271805005955>.
- [2] R. Ballou and et al. New exclusion limits on scalar and pseudoscalar axionlike particles from light shining through a wall. *Physical Review D*, 92(9), November 2015. ISSN 1550-2368. doi: 10.1103/physrevd.92.092002. URL <http://dx.doi.org/10.1103/PhysRevD.92.092002>.
- [3] David S. Berman and Malcolm J. Perry. M-theory and the string genus expansion. *Physics Letters B*, 635(2–3):131–135, April 2006. ISSN 0370-2693. doi: 10.1016/j.physletb.2006.02.038. URL <http://dx.doi.org/10.1016/j.physletb.2006.02.038>.
- [4] M. Betz, F. Caspers, M. Gasiior, M. Thumm, and S. W. Rieger. First results of the cern resonant weakly interacting sub-ev particle search (crows). *Physical Review D*, 88(7), October 2013. ISSN 1550-2368. doi: 10.1103/physrevd.88.075014. URL <http://dx.doi.org/10.1103/PhysRevD.88.075014>.
- [5] P S Farrugia, R B Mann, and T C Scott. N-body gravity and the schrödinger equation. *Classical and Quantum Gravity*, 24(18): 4647–4659, August 2007. ISSN 1361-6382. doi: 10.1088/0264-9381/24/18/006. URL <http://dx.doi.org/10.1088/0264-9381/24/18/006>.
- [6] Tadayuki Ohta and Robert Mann. Canonical reduction of two-dimensional gravity for particle dynamics. *Classical and Quantum Gravity*, 13(9):2585–2602, September 1996. ISSN 1361-6382. doi: 10.1088/0264-9381/13/9/022. URL <http://dx.doi.org/10.1088/0264-9381/13/9/022>.

- [7] Dmitry Salnikov, Petr Satunin, M. Fitkevich, and D. Kirpichnikov. Light-shining-through-wall cavity setups for probing alps. *JETP Letters*, 117, 06 2023. doi: 10.1134/S0021364023600957.

- [8] Dmitry Salnikov, Petr Satunin, and D. V. Kirpichnikov. Probing axion-like particles with rf cavities separated by thin barrier. 2024.